

# 一株海绵放线菌的分离鉴定及活性研究 \*

张海涛 靳 艳 吴佩春 张 卫 \*\*

(中国科学院大连化学物理研究所 大连 116023)

**摘要:** 从大连潮间带繁茂膜海绵中分离到一株具有很强抑制革兰氏阳性菌活性和较强抗肿瘤活性的链霉菌。通过其形态观察、生理生化测定和 16S rDNA 序列的测定, 初步判定属于假浅灰链霉菌 (*Streptomyces pseudogriseolus*)。并对其活性物质的生产条件进行了初步探索和优化, 确定了用天然海水配制的 TSB 培养基为最佳发酵培养基, 3 d 为最适发酵时间。

**关键词:** 繁茂膜海绵, 假浅灰链霉菌, 放线菌, 活性, 鉴定

**中图分类号:** Q93    **文献标识码:** A    **文章编号:** 0253-2654 (2004) 05-0060-05

## Isolation, Identification and Bioactivity Screening of *Streptomyces pseudogriseolus* Associated with Marine Sponge *Hymeniacidon perleve*

ZHANG Hai-Tao JIN Yan WU Pei-Chun ZHANG Wei\*\*

(Dalian Institute of Chemical Physics, Chinese Academy of Sciences, Dalian 116023)

**Abstract:** An actinomycete B37 was isolated from an intertidal marine sponge *Hymeniacidon perleve*, which has strong activity against Gram positive bacteria and moderate activity against tumor cells. The mycelium and spore morphology, physiological properties and 16SrDNA sequence suggested that B37 is *Streptomyces pseudogriseolus*. The fermentation conditions of this strain were investigated for the biosynthesis of bioactive metabolites.

**Key words:** Marine sponge *Hymeniacidon perleve*, *Streptomyces pseudogriseolus*, Actinomycetes, Activity, Identification

海绵是海洋药物和天然产物的重要来源。2000 年的统计表明: 从海洋生物中分离得到的 6,000 多种天然产物中, 大约有 40% 源于海绵, 其活性范围涵盖了抗菌、抗炎症、抗肿瘤、抗疟疾等方面<sup>[1]</sup>。在海绵滤食的过程中, 许多微生物尤其是不能被消化的微生物得以在海绵体内保留, 这样在海绵体内和体表就富集了大量的微生物<sup>[2]</sup>。近些年, 随着研究方法的发展和研究内容的深入, 科学家从海绵中发现了越来越多的微生物, 并从某些微生物的代谢产物中发现了许多活性物质, 而其中有些活性物质过去曾被认为是海绵本身产生的。例如 Perovic 从海绵 *Halichondria panicea* 中的微生物 *Antarcticum Veiculatum* 和 *Psychroserpens burtonensis* 中分离得到了具有神经活性的化合物<sup>[3]</sup>。Debitus 从海绵 *Suberea creba* 中分离得到的假单胞菌能够产生的奎诺龙 (Quinolone) 类抗生素<sup>[4]</sup>。从海绵相关微生物入手, 从中筛选获得具有能够生产活性物质的菌株, 开辟了海绵天然产物的新来源。海绵中微生物由于其生长条件特殊, 通常难以培养, 形态多变, 不易进行鉴定, 因此应该采用传统形态生理等方法与分子生物学相结合的多相鉴定方式对其属种归属进行确定。本文在研究大连海域潮间带繁茂膜海绵过程中, 分

\* 国家“973”计划资助项目 (No.2003CB716001)

\*\* 联系人 Tel: 0411-4379069, E-mail: weizhang@dicp.ac.cn

收稿日期: 2003-12-08, 修回日期: 2004-04-16

离得到了一株链霉菌B37。对其活性和鉴定进行了探索性研究。

## 1 材料与方法

### 1.1 菌株分离

在大连地区潮间带海域采集新鲜繁茂膜海绵(*Hymeniacidon perleve*)。其种属由中国科学院青岛海洋研究所李锦和先生鉴定。首先将海绵用无菌海水浸洗5遍，以去除表面附着物及夹带的海水中微生物。然后在无菌研钵中研磨10 min，使之成均匀浆状，加入两倍质量的无菌海水，在此基础上稀释10倍后进行平板涂布。分离培养基采用改良Emerson培养基，分离培养基中加入终浓度为15 μg/mL的萘啶酸和50 μg/mL的重铬酸钾。

### 1.2 菌株鉴定

**1.2.1 形态观察：**菌株的培养特征与生理生化特性采用常规微生物鉴定方法，并参照文献及手册中所推荐的培养基<sup>[5~7]</sup>；菌株形态观察在Olympus BH-2显微镜下进行，孢子丝及孢子在Phylips XL30扫描电镜下观察。

**1.2.2 分子鉴定：**DNA提取参考采用细菌基因组DNA的小量制备方法<sup>[8]</sup>。经纯化后采用通用引物进行16SrDNA基因的PCR扩增<sup>[9]</sup>。PCR产物测序由大连宝生物公司完成。通过互联网，将序列提交NCBI数据库，应用Blast程序与数据库中已有的细菌16SrDNA序列进行相似性比较分析。序列的比较及系统发育分析采用Clustalx1.81软件进行。

### 1.3 抗菌活性测定

抗菌活性测定培养基：细菌用牛肉膏蛋白胨琼脂，白色念珠菌为麦芽汁琼脂，霉菌采用察氏琼脂。B37发酵培养基为含有2%NaCl的TSB液体培养基。采用杯碟法测定发酵液抗菌活性，每个牛津杯加入100 μL的发酵液上清，细菌于37℃培养24 h，真菌于32℃下培养48 h，检测抑菌圈直径大小。供试菌株为*Escherichia coli*(AS 1.543), *Pseudomonas aeruginosa*(AS1.50), *Bacillus subtilis*(10002), *Staphylococcus aureus*(AS 1.879), *Candida albicans*(AS 2.2086), *Aspergillus niger*(AS 3.4463)，均购自国家菌种库和国家工业菌种库。

### 1.4 抗肿瘤细胞活性测定

Raji-人Burkitt淋巴瘤细胞，QGY-7701-人肝癌细胞，K562-慢性髓原白血病细胞系本实验室保存细胞。细胞培养在RPMI1640培养基中，在100%湿度，5%CO<sub>2</sub>的37℃恒温培养箱中培养。将B37菌株接种在含有2%NaCl的TSB液体培养基中，28℃下230 r/min摇床培养5d后，在5,000 r/min下离心10 min，取上清用0.22 μm的滤膜过滤，滤液即为待测样品，冰箱中冻存待用。

细胞培养至90%铺底，消化收集的细胞并制成单细胞悬液；接种细胞于96孔板，每孔加入100 μL含1×10<sup>5</sup>个细胞的培养液；加入10 μL待测样品，阴性对照为10 μL的TSB培养基，每个样品和对照均有3个平行；细胞在37℃、5%CO<sub>2</sub>、100%湿度的条件下培养48 h；取出培养板，每孔加入10 μL以无菌生理盐水配制的5 mg/mL的MTT，37℃下反应4 h；每孔加入100 μL裂解液，充分溶解细胞3 h；然后用酶标仪(BioRad，M550)双波长比色测定各孔的吸光值，设定测定波长595 nm，参考波长655 nm<sup>[10]</sup>。

抑制率计算公式如下：

$$\text{抑制率\%} = \frac{\text{阴性对照组 OD 值} - \text{实验组 OD 值}}{\text{阴性对照组 OD 值}} \times 100\%$$

## 1.5 发酵条件优化

将链霉菌B37在高氏一号培养基上28℃培养7 d, 接入TSB液体培养基内(100 mL培养基/500 mL三角瓶), 28℃下摇床200 r/min培养48 h, 然后按10%接种量将种子液接入不同的发酵培养基, 置于摇床200 r/min振荡培养, 温度为28℃, 培养基装量为250 mL三角瓶装50 mL培养基。每24 h取样, 并置于冰箱冻存留做实验用。以金黄色葡萄球菌为指示菌, 牛津杯法测定抗菌活性。

采用如下各种发酵培养基: (1) 蒸馏水配制的TSB; (2) 天然海水配制的TSB; (3) 蒸馏水配制TSB内含2% NaCl; (4) 1/2蒸馏水+1/2海水配制ISP2; (5) 天然海水配制的ISP2; (6) 蒸馏水配制的ISP2内含2% NaCl。

## 2 实验结果

### 2.1 链霉菌B37的鉴定

**2.1.1 形态培养特征:** 链霉菌B37在高氏一号培养基上生长丰茂, 气生菌丝发达, 呈深灰色。显微镜下观察, 孢子丝呈螺旋状, 4~6圈螺旋(见图1)。10,000倍电镜下观察孢子丝呈松散螺旋形, 孢子卵圆形, 大小为 $0.4\sim0.5\mu\text{m}\times0.6\sim0.8\mu\text{m}$ , 表面光滑无刺(见图2)。链霉菌B37在多数实验培养基上长势良好, 但在查氏培养基和无机盐淀粉上长势较差(见表1)。

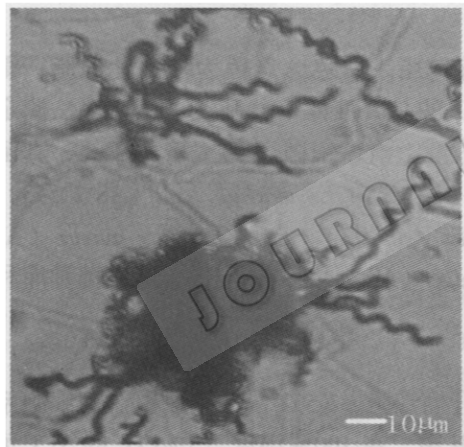


图1 链霉菌B37在显微镜下照片( $\times 400$ )

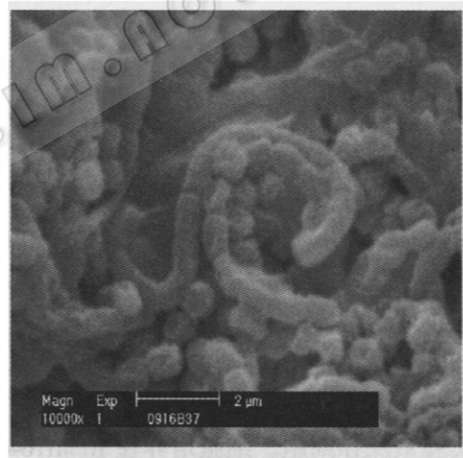


图2 链霉菌B37在电镜下照片( $\times 10,000$ )

表1 链霉菌B37的培养特征

| 培养基             | 气生菌丝    | 基内菌丝   | 可溶性色素 |
|-----------------|---------|--------|-------|
| 酵母麦芽浸出(ISP2)培养基 | 浅灰白色    | 白色, 缩皱 | 无     |
| 甘油天冬素培养基        | 灰色      | 白色     | 无     |
| Emerson培养基      | 灰色      | 灰棕色    | 无     |
| 蔗糖硝酸盐(查氏)培养基    | 极少, 灰白  | 浅灰色    | 无     |
| 高氏一号培养基         | 深灰色     | 淡灰色    | 无     |
| 燕麦粉琼脂培养基        | 浅灰黄色    | 淡灰     | 无     |
| 淀粉无机盐(ISP4)培养基  | 极稀薄, 白色 | 白色     | 无     |
| 营养琼脂            | 白色      | 黄色, 缩皱 | 无     |

**2.1.2 生理生化鉴定结果:** 部分生理生化特征鉴定结果见表2。参照《伯杰氏细菌鉴定手册》和《放线菌的分类和鉴定》, 将实验结果同手册上不同种菌株进行比对, 并结

合B37在各种培养基上形态及显微镜和电镜下观察结果,可初步判定为假浅灰链霉菌(*Streptomyces pseudogriseolus*)。

表2 链霉菌B37的生理生化特征

| 特征    | 结果 | 特征     | 结果 |
|-------|----|--------|----|
| 淀粉水解  | +  | L-鼠李糖  | +  |
| 明胶液化  | +  | D-甘露醇  | +  |
| 产黑色素  | +  | D-半乳糖  | +  |
| 牛奶胨化  | +  | D-果糖   | +  |
| 牛奶凝固  | +  | 柳酸     | +  |
| 产硫化氢  | -  | D-木糖   | +  |
| 纤维素降解 | -  | L-阿拉伯糖 | +  |
| 葡萄糖   | +  | 棉子糖    | -  |
| D-肌醇  | +  | 蔗糖     | -  |

**2.1.3 分子鉴定结果:** 对B37的16S rDNA部分序列(936 bp)进行测序,并同GenBank中16SrDNA序列进行比对,其同假浅灰链霉菌的相似性达到98.9%。采用Clustalx1.81软件,用N-J法建立系统发育树,如图3所示,对其进行分析,二者之间的进化距离相隔较近。结合对B37的形态观察和生理生化指标的测定,进一步确定B37属于假浅灰链霉菌。

## 2.2 B37的生理活性

**2.2.1 B37的抑菌活性:**采用牛津杯法测试B37在TSB培养基中发酵液的抑菌抑菌活性。活性结果见表3,可以看出在各种供测试菌中,B37能专一的抑制革兰氏阳性细菌,而对于革兰氏阴性细菌和酵母、霉菌等真菌没有抑制活性。

表3 链霉菌B37发酵液对各种菌的抑制作用

| 测试菌      | 枯草芽孢杆菌 | 金葡萄球菌 | 大肠杆菌 | 绿脓杆菌 | 白假丝酵母 | 黑曲霉 |
|----------|--------|-------|------|------|-------|-----|
| 抑菌直径(cm) | 2.6    | 4.3   | -    | -    | -     | -   |

**2.2.2 B37的抗肿瘤细胞活性:**以3种肿瘤细胞为抗肿瘤活性筛选模型,其中Ragi细胞和K562细胞为悬浮细胞,QGY-7701细胞为贴壁生长细胞。B37发酵液对3种肿瘤细胞的生长抑制率见表4。在显微镜下观察,加入B37发酵液以后,Ragi细胞和K562细胞皱缩变形,不再圆润饱满;而QGY细胞大多则悬浮在细胞培养液中,不再贴壁。3种细胞在视野范围内数量都明显少于阴性对照组。因此链霉菌B37的发酵液有较强的抑制肿瘤细胞生长的能力。

表4 链霉菌B37发酵液对肿瘤细胞抑制作用

| 测试细胞   | Ragi细胞 | K562细胞 | QGY-7701细胞 |
|--------|--------|--------|------------|
| B37抑制率 | 81%    | 81%    | 78%        |

**2.2.3 发酵条件优化:**由图4可以看出,在对B37发酵采用各种发酵培养基效果差别不是很大。在发酵的第3d,B37的发酵液中的抑菌的活性物质的量最高,此时为发酵的最佳时期,然后就进入菌体生长滞后期,活性物质的合成开始减少。在各种培养基中,以TSB培养基和以海水配制的TSB培养基为最佳,菌体在发酵时能够达到活性物

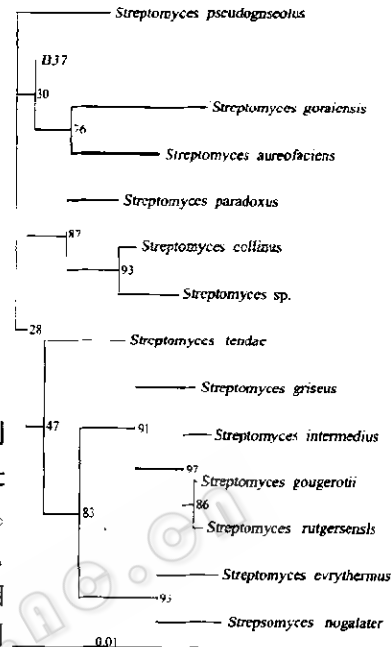


图3 链霉菌B37的系统发育树

质生产的较高量。而B37在添加了2%NaCl的ISP2培养基中生长则需要较长的时间才能达到活性物质的生产高峰期。上述结果说明了TSB培养基更适合于链霉菌B37的生长和活性物质的生产，尤其是海水配制的TSB培养基。

### 3 讨论

研究黄渤海海域的繁茂膜海绵中获得了多种具有抗菌、抗肿瘤、抗HIV等活性的化合物<sup>[10]</sup>。然而在海绵微生物及其产生的活性物质方面的研究却尚属空白。从大连海域潮间带繁茂膜海绵中分离放线菌过程中，对海绵周围海水进行采样，但并未得到放线菌。原因可能是海水中含放线菌浓度太低，而海绵由于其滤食特性，使得体内能够富集丰富的微生物。这为我们开辟了新的微生物资源来源。并且由于海绵本身能产生许多种活性天然产物，大多数都没有确定其真正来源，其中许多已经陆续被证实是源自海绵中的相关微生物。因此从海绵中微生物入手进行活性菌株的分离和筛选是条有效的途径。

在将所测得的16SrDNA序列通过互联网输入CenBank进行Blast分析，序列同源性比较结果表明：B37与假浅灰链霉菌的16SrDNA序列同源性达到98.9%。与中间型链霉菌(*Streptomyces intermedius*)，唐德链霉菌(*Streptomyces tendae*)的序列同源性也达到98%以上。但B37的形态特征和生理生化性能与后二者有很大的差异。目前细菌分类学家普遍认为16SrDNA序列同源性大于97%为同种成员。目前链霉菌传统的分类方法比较混乱，而16S rDNA的序列库有待完善。因此需要对其鉴定的各个方面进行考察，包括形态观察，生理生化测定和16SrDNA序列的测定。我们得到的活性菌株来源于海洋，海洋微生物的很重要特征是形态和生理性状的多变性。在综合上述鉴定方面特征的基础上，初步判定B37属于假浅灰链霉菌。在对该菌的活性探索方面，B37显示了很强的专一抗菌活性，并具有较强的抑制肿瘤细胞生长的活性。

### 参考文献

- [1] Faulkner D J. Marine Natural Products Natural Product Reports, 2000, 17: 7~55.
- [2] Osinga R, Armstrong E, Burgess J G B, et al. Hydrobiologia 2001, 461: 55~62.
- [3] Perovic S, Wicheles A, Schutt, C, et al. Environmental Toxicology and Pharmacology, 1998, 6: 125~133.
- [4] Debitus C, Guella G, Mancini I I, et al. J Mar Biotechnol, 1998, 6: 136~141.
- [5] F 奥斯伯等. 颜子颖, 王海林译. 精编分子生物学实验指南. 北京: 科学出版社, 1999.39~40.
- [6] 阎弘初. 放线菌的分类和鉴定. 北京: 科学出版社, 1992.
- [7] 东秀珠, 蔡妙英. 常见细菌系统鉴定手册. 北京: 科学出版社, 2001.
- [8] R E 布坎南, N E 吉本斯. 伯杰细菌鉴定手册(第八版). 北京: 科学出版社, 1984.
- [9] Webster N S, Wilson K J, Blackall L L, et al. Applied And Environmental Microbiology, 2001, 67 (1), 434~444.
- [10] Xue S, Zhang H T, Wu P C, et al. Journal of Experimental Marine Biology and Ecology, 2004, 298: 71~78.

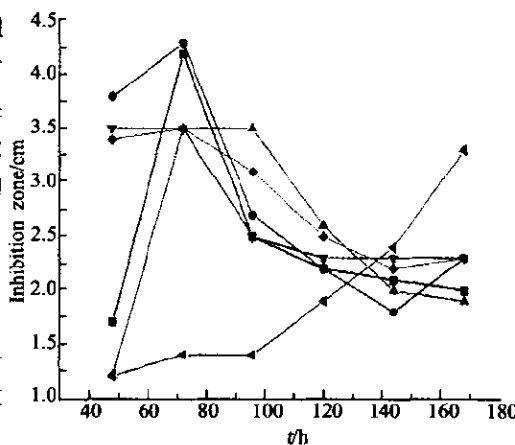


图4 链霉菌B37在不同发酵培养基上  
发酵时间和活性关系

■ TSB, ● TSB + SW, ▲ TSB + 2% NaCl,  
▼ 1/2 ISP2 + 1/2 SW, ◆ SW + ISP2, □ ISP2 + 2% NaCl

© 中国科学院微生物研究所期刊联合编辑部 <http://journals.im.ac.cn>